

Способ задания параметров потока на входе в резонатор	$E_{\Sigma}$ , кДж/кг	$p_H$ , Па	$p_F$ , Па
Из расчета вязкого течения в сопле с абсолютно каталитической стенкой	96	875	624
То же для сопла с некаталитической стенкой	98	875	624
Из расчета невязкого замороженного течения в соплах	202	539	294

Типичные результаты расчетов, полученные таким образом для случаев, когда стена сопла является абсолютно каталитической (кривая 1) и абсолютно некаталитической (кривая 2) по отношению к реакции рекомбинации атомарного фтора, представлены на рис. 5. Там же штриховой линией приведены результаты расчетов, полученные в предположении о невязком характере течения в соплах. Соответствующие значения давлений на срезах сопел и удельных энергосъемов лазера представлены в таблице. Из приведенных результатов видно, что при расчете течения в резонаторе учет предыстории потока (вязких эффектов в сверхзвуковых соплах) совершенно необходим для получения реалистичных оценок выходных энергетических характеристик лазера.

Поступила в редакцию 2/XII 1981

#### ЛИТЕРАТУРА

- Ю. В. Лапин, М. Х. Стрелец, М. Л. Шур.— В сб.: Численные методы механики сплошной среды. Т. 13. Новосибирск: ВЦ СО АН СССР, 1982.
- G. Emanuel. JQSRT, 1971, 11, 11.
- В. Г. Крутова, А. Н. Ораевский и др. Квантовая электроника, 1976, 3, 9.
- А. А. Степанов, В. А. Щеглов. Квантовая электроника, 1979, 6, 4.
- А. В. Лавров, В. А. Поспелов и др. ФГВ, 1979, 15, 1.
- А. А. Степанов, В. А. Щеглов. Препринт ФИАН, № 182, 1976.
- И. П. Гинзбург. Трение и теплопередача при движении смеси газов. Л.: ЛГУ, 1975.
- Химические лазеры/Под ред. Р. Гросса и Дж. Ботта. М.: Мир, 1980.
- Ю. В. Лапин. Турбулентный пограничный слой в сверхзвуковых потоках газа. М.: Наука, 1970.
- J. D. Rawshaw, R. C. Mjolsness, O. A. Farmer. JQSRT, 1977, 17, 2.
- Дж. Гиршфельдер, Ч. Кертисс, Р. Берд. Молекулярная теория газов и жидкостей. М.: ИЛ, 1961.
- П. Роуч. Вычислительная гидродинамика. М.: Мир, 1980.
- Ю. А. Березин, В. М. Ковеня, Н. Н. Яненко.— В сб.: Численные методы механики сплошной среды. Т. 3, № 4. Новосибирск: ВЦ СО АН СССР, 1972.
- Н. Н. Яненко, В. М. Ковеня. Докл. АН СССР, 1977, 232, 6.
- R. Hoffland, H. Mirels. AIAA J., 1972, 10, 4.
- А. А. Степанов, В. А. Щеглов. ЖТФ, 1980, 50, 3.
- В. К. Баев, В. И. Головичев, В. А. Ясаков. Двумерные турбулентные течения реагирующих газов. Новосибирск: Наука, 1976.
- В. А. Поспелов.— В сб.: Численные методы механики сплошной среды. Т. 13. Новосибирск: ВЦ СО АН СССР, 1982.
- И. А. Бассина, В. Л. Дорот, М. Х. Стрелец. Изв. АН СССР, МЖГ, 1979, 3.

#### ЗАЖИГАНИЕ ТИТАНА ИЗЛУЧЕНИЕМ CO<sub>2</sub>-ЛАЗЕРА

Л. Г. Страковский

(Москва)

Лазерный нагрев и зажигание металлов имеют ряд особенностей, основная из которых связана с изменением мощности излучения, поглощаемой образцом в процессе нагрева [1, 2]. Характерно, что для разных металлов указанная особенность проявляется по-разному.

В [3—5] исследовалась кинетика окисления титана при нагреве CO<sub>2</sub>-лазером. Тонкие пластинки массой  $\leq 0,05$  г нагревались в атмосферном воздухе лазером мощностью до 30 Вт. При временах нагрева 20—

1000 с кинетические параметры были близки к соответствующим величинам при изотермическом окислении [3]. Вместе с тем в ряде случаев кинетика окисления резко менялась в ходе процесса [4, 5], а при значительном увеличении скорости нагрева существенно менялся и состав образующихся окислов [6]. В целом результаты работ [3—6] указывают на сложный характер процесса неизотермического окисления титана при лазерном пагреве.

В настоящей работе исследуется зажигание титана излучением непрерывного CO<sub>2</sub>-лазера в условиях интенсивного обдува воздушным потоком. По литературным данным, величина температуры зажигания титана меняется в широких пределах ( $T = 673 \div 1923 \text{ K}$ ) в зависимости от условий эксперимента [7—10]. Интенсивный обдув существенно меняет условия развития процесса. При этом реализуется сильный теплоотвод, который в принципе может привести к изменению механизма зажигания [8]. Вместе с тем в случае сверхзвукового обдува в результате образования ударной волны происходит резкое увеличение давления у поверхности воспламеняемого образца. При этом температура и время воспламенения титана вследствие повышения концентрации окислителя могут уменьшаться [11].

Для реализации зажигания при интенсивном обдуве необходим источник излучения с достаточно высокой мощностью. В работе использована установка «Катунь» с непрерывной прокачкой рабочей смеси в продольном стационарном разряде. Мощность излучения менялась в пределах 350—800 Вт за счет ступенчатого изменения длины разрядного промежутка. Излучение лазера фокусировалось на поверхность образцов в пятно диаметром 9 мм. Образцы титана (сплав ВТ1-0) — пластинки с размерами  $10 \times 10$  и толщиной 1 мм — зажимались с одного края в державке из теплоизолирующего материала. В тыльную сторону пластинки, приблизительно в ее центр, зачеканивалась термопара хромель-алюмель.

Времена облучения образцов составляли 3—15 с, что намного превышало величины, характеризующие выравнивание температуры по толщине и по радиусу пластинки. Таким образом, пластинка прогревалась практически равномерно, и скорость роста ее температуры определялась уравнением

$$mc \cdot dT/dt = WA - W_{\text{пот}}, \quad (1)$$

где  $m$  — масса пластинки;  $c$  — теплоемкость;  $W$  — мощность излучения;  $A$  — коэффициент поглощения;  $W_{\text{пот}} = S [\alpha(T - T_0) + \varepsilon\sigma_0(T^4 - T_0^4)]$  — мощность тепловых потерь;  $S$  — площадь пластинки;  $\alpha$  — коэффициент теплоотдачи;  $\varepsilon$  — степень черноты;  $\sigma_0$  — постоянная Стефана — Больцмана;  $T_0$  — температура среды. Временной ход температуры пластинки записывался на шлейфовом осциллографе К-115.

Образцы обдувались сжатым воздухом, который через редуктор подавался из баллона в ресивер. На выходе ресивера установлено сопло с диаметром критического сечения 12 мм и диаметром среза 15 мм. Расчетная величина скорости обдува  $v$  при этом соответствовала числу Маха  $M = v/c = 1,8$  ( $c$  — скорость звука). Избыточное давление воздуха в ресивере составляло  $4 \cdot 10^5 \text{ Н/м}^2$ , что соответствовало давлению на срезе сопла  $p = 0,87 \cdot 10^5 \text{ Н/м}^2$ . Плоскость облучаемой пластинки устанавливалась параллельно оси сопла так, что не менее 90% ее поверхности находилось в области расчетных параметров воздушного потока. С целью со-поставления проведены также опыты в атмосферном воздухе без обдува.

Процесс зажигания фиксировался кинокамерами «Конвас-автомат» со скоростью 24—32 кадр/с. Синхронизация киносъемки с началом облучения осуществлялась при помощи гелиево-неонового лазера ЛГ-56, луч которого отражался от затвора, перекрывающего излучение CO<sub>2</sub>-лазера, и попадал в поле зрения камеры.

На кинограммах процесса можно выделить два характерных момента: при  $t = t_1$  у поверхности образца возникает яркое свечение, а при  $t = t_2$  начинается горение титана, сопровождающееся появлением искр

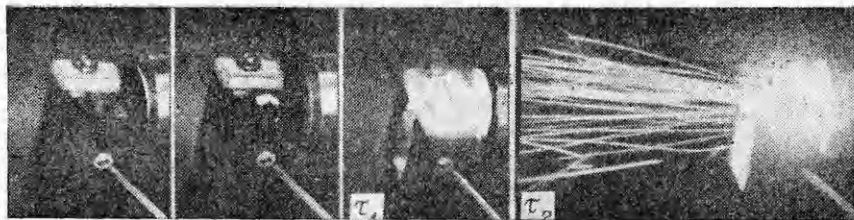


Рис. 1. Зажигание пластиинки титана лазерным излучением при обдуве воздушным потоком.

(частиц расплавленного металла). Типичная кинограмма зажигания титана приведена на рис. 1.

На рис. 2 представлены экспериментальные осциллограммы температуры, полученные в процессе зажигания. На осциллограммах указаны моменты времени  $\tau_1$  и  $\tau_2$ , найденные по результатам киносъемки. В большинстве проведенных опытов величина  $\tau_1$  совпадала с точкой перегиба температурной кривой, которую будем обозначать  $t_a$ . Важно отметить, что температура  $T(t_a) = T_a$ , которую в ряде работ (см., например, [1, 2, 5]) принимают за температуру воспламенения, не является постоянной величиной. В опытах с обдувом повышение мощности излучения приводило к росту  $T_a$ . Укажем для примера, что при  $W = 360$  Вт измеренное значение  $T_a = 1250$  К, а при  $W = 800$  Вт  $T_a = 1470$  К. В опытах с обдувом  $T_a$  больше, чем в случае зажигания в атмосферном воздухе. Погрешность измерений температуры не превышала 25°.

Значение  $T(\tau_2)$  близко к температуре плавления титана  $T_{\text{пл}} \approx 1660^\circ\text{C}$  [12].

При снятии облучения в момент  $t_a$  температура образца начинала падать и горение с характерным выделением искр не реализовалось. Если излучение прекрывалось в момент  $\tau_2$ , то при отсутствии обдува происходило самоподдерживающееся горение титана.

Как видно из рис. 2, при  $t > t_a$  скорость нагрева пластинки резко возрастает. Это обусловлено увеличением коэффициента поглощения образца за счет роста толщины окисной пленки и дополнительным тепловыделением за счет экзотермической реакции окисления.

При условии, что толщина пленки  $x$  намного меньше длины волны излучения ( $x \ll \lambda/4\pi n$ , где  $n$  — коэффициент преломления окисла на используемой длине волны), зависимость  $A(x)$  может быть представлена в виде [1]

$$A = A_0 + bx^2, \quad (2)$$

где  $A_0$  — начальный коэффициент поглощения;  $b = 4\pi^2 A_0(n^2 - 1)/\lambda^2$ . Отметим, что в проведенных опытах указанное условие выполнялось (при временах окисления  $t \leq 15$  с и температурах  $T < T_a$  величина  $x$  по оценкам не превышает  $5 \cdot 10^{-5}$  см).

Принимая, в соответствии с [12], скорость роста окисной пленки титана определяется параболическим законом окисления, запишем

$$dx/dt = k_n/x \cdot e^{-E/RT}, \quad (3)$$

где  $k_n = k c_{\text{ок}}^r$  — предэкспонент в выражении константы скорости параболического окисления;  $c_{\text{ок}}$  — концентрация кислорода;  $r$  — порядок реакции по окислителю;  $E$  — энергия активации.

Используя уравнения (1)–(3),

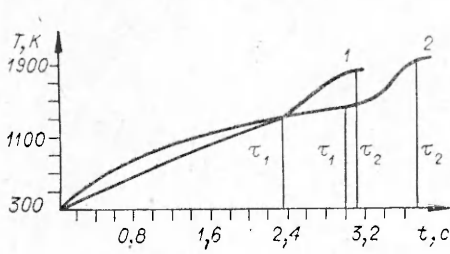


Рис. 2. Осциллограммы температуры пластиинки.  
1 — без обдува, 2 — обдув воздушным потоком ( $M=1,8$ ); мощность излучения 600 Вт.

можно выразить  $T_a$ , соответствующую точке перегиба  $\left(\frac{d^2T}{dt^2}\right|_{T_a} = 0\right)$ , через кинетические параметры  $k_n$ ,  $E$  и величины, характеризующие скорость нагрева образца при  $t \leq t_a$ ,

$$WA_0/\alpha S + T_0 - T_a = 2Wbm c/(\alpha S)^2 \cdot k_n e^{-E/RT_a}. \quad (4)$$

Выражение (4) получено с учетом того, что потери тепла на излучение малы по сравнению с конвективными. Величины коэффициента теплоотдачи  $\alpha$  определены экспериментально по скорости остывания образцов при снятии потока излучения:  $\alpha = (4,1 \pm 0,2) \cdot 10^{-2}$  Вт/(см<sup>2</sup> · град) при обдуве сверхзвуковым потоком,  $\alpha = (2,6 \pm 0,3) \cdot 10^{-3}$  Вт/(см<sup>2</sup> · град) — в атмосферном воздухе. Определенная в опытах величина  $A_0 = 0,2 \pm 0,01$ .

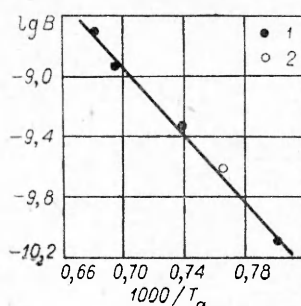
Логарифмируя (4) и представляя экспериментальные результаты, полученные при обдуве для четырех значений  $W$ , в координатах  $1000/T_a - \lg B$  (рис. 3), получаем кинетические параметры окисления:  $E = 51 \pm 3$  ккал/моль,  $k_n = (8 \pm 4) \cdot 10^{-2}$  см<sup>2</sup>/с. Результаты опытов в атмосферном воздухе —  $T_a = 1310$  К (при изменении мощности в указанных пределах величина  $T_a$  менялась в пределах экспериментальной ошибки) удовлетворительно ложатся на прямую, полученную по данным при обдуве. Это, в частности, свидетельствует о том, что в условиях эксперимента концентрация окислителя слабо влияет на скорость окисления. Учитывая, что при указанных параметрах обдува концентрация кислорода у поверхности пластиинки в 2,1 раза превышает соответствующую величину в атмосферном воздухе, можно получить приближенную оценку порядка реакции по окислителю:  $r \approx 0,2$ .

Мощность тепловыделения за счет химической реакции в момент  $t_a$ , оцененная по формуле  $W_+ = Q \rho k_n S / x(t_a, T_a) \cdot e^{-E/RT_a}$  с использованием полученных кинетических параметров (величина  $Q$  при этом принималась равной энталпии образования рутила —  $1,18 \cdot 10^4$  Дж/г [12]), оказалась сравнимой с мощностью теплоприхода и теплоотвода. Это свидетельствует о правомочности выбора величины  $T_a$  в качестве температуры зажигания (последнее понимается как реализация самоускорения реакции окисления). Вместе с тем пренебрежение тепловыделением в формуле (1) при  $t < t_a$  оправдано из-за сильной температурной зависимости величины  $\dot{W}_+$ . Об этом свидетельствует хорошее соответствие экспериментальных величин  $t_a$  с расчетными значениями  $t_a = mc(T_a - T_0)/(A_0 W - \dot{W}_{\text{пот}})$ , где  $\dot{W}_{\text{пот}}$  — средняя величина мощности тепловых потерь за время  $t_a$ .

Таким образом, при нагреве титана как в воздушной атмосфере, так и при сверхзвуковом обдуве в течение большей части индукционного периода реакции окисления можно преподнестречь. При  $t \approx t_a$  становится существенным тепловыделение за счет реакции, рост окисной пленки приводит к увеличению поглощения и соответственно скорости нагрева образца. Температура зажигания  $T_a$  значительно ниже температуры плавления окисла и металла.

Найденные кинетические параметры реакции, определяющей зажигание титана в опытах с обдувом, близки к литературным значениям констант его изотермического окисления [12], а также к величинам, полученным при лазерном нагреве без обдува [3]. Это может свидетельствовать о том, что зажигание титана происходит по единому механизму как при слабом, так и при сильном теплоотводе.

Рис. 3. Определение кинетических параметров окисления титана;  $B = \frac{\alpha S A_0}{2bm c} = \frac{(T_a - T_0)(\alpha S)^2}{2Wbm c}$ .  
1 — опыты с обдувом; 2 — без обдува.



Поступила в редакцию 13/X 1981

## ЛИТЕРАТУРА

1. М. И. Арзуков, Ф. В. Бункин и др. Влияние поверхностного окисления на динамику нагрева металлов излучением СО<sub>2</sub>-лазера. Препринт Физического института АН СССР, № 39. М., 1978.
2. М. И. Арзуков, А. И. Барчуков и др. Квантовая электроника, 1979, 6, 6, 1339.
3. В. И. Конов, В. П. Токарев. Тез. докл. В Всесоюз. совещания по нерезонансному взаимодействию оптического излучения с веществом. Л., 1981.
4. В. И. Конов, В. Г. Ральченко, В. П. Токарев. Тез. докл. В Всесоюз. совещания по нерезонансному взаимодействию оптического излучения с веществом. Л., 1981.
5. А. Г. Акимов, А. П. Гагарин и др. Тез. докл. В Всесоюз. совещания по нерезонансному взаимодействию оптического излучения с веществом. Л., 1981.
6. А. Г. Акимов, А. П. Гагарин и др. ЖТФ, 1980, 50, 2461.
7. М. Е. Деревяга, Л. И. Стесик, Э. А. Федорин. ФГВ, 1976, 12, 4, 544.
8. А. Л. Брайтер, В. М. Мальцев, Е. И. Попов. ФГВ, 1977, 13, 4, 558.
9. К. И. Крылов, В. Т. Прокопенко, А. С. Митрофанов. Применение лазеров в машиностроении и приборостроении. Л.: Машиностроение, 1978.
10. Б. М. Злобинский, В. Г. Иоффе, В. Б. Злобинский. Воспламеняемость и токсичность металлов и сплавов. М.: Металлургия, 1972.
11. F. E. Littman. J. Less — Common Metals, 1961, 3, 3, 367.
12. О. Кубашевский, Б. Гопкинс. Окисление металлов и сплавов. М.: Металлургия, 1965.

## СПЕКТРЫ ХЕМИЛЮМИНЕСЦЕНЦИИ ПРОДУКТОВ ВЗАИМОДЕЙСТВИЯ ПАРОВ ГАЛЛИЯ, ИНДИЯ И ТАЛЛИЯ С ЗАКИСЬЮ АЗОТА

M. B. Елисеев, B. A. Коряжкин, A. A. Мальцев, A. D. Попов  
(Москва)

Поиск активных сред для химических лазеров с генерацией в видимой области вызвал многочисленные исследования хемилюминесценции реакций окисления металлов в газовой фазе. К настоящему времени изучены реакции паров около 40 металлов с кислородными окислителями. Спектры хемилюминесценции почти во всех случаях отнесены к двухатомным молекулам типа MeO, в ряде случаев эти спектры получены и проанализированы впервые. Спектральные исследования хемилюминесценции реакций окисления паров галлия, индия и таллия до сих пор не проводились, а продукты их не идентифицированы. Имеются лишь краткие сообщения о наблюдении хемилюминесценции реакций паров таллия и индия с закисью азота [1, 2]. По аналогии с другими реакциями можно предположить, что продуктами этих реакций являются молекулы GaO, InO, TiO.

Помимо хемилюминесценции, проводились исследования электронных спектров испускания, возбуждаемых в газовых разрядах. В случае галлия спектр отнесен к молекуле GaO [3—6], однако детально изучена лишь система полос  $B^2\Sigma^+ - X^2\Sigma^+$  (330—420 нм). Две другие системы (340—350 и 440—460 нм) предварительно отнесены к электронным переходам  $C^2\Pi - X^2\Sigma^+$  и  $B^2\Sigma^+ - A^2\Pi$ , соответственно. Спектр молекулы InO в разряде чрезвычайно сложен для анализа, и только две группы полос — около 428 и 416 нм — отнесены достаточно надежно к электронному переходу  $B^2\Sigma^+ - X^2\Sigma^+$  [3]. Электронный спектр молекулы TiO до сих пор не наблюдался, хотя попытки получить его делались [5, 7]. Моноокись таллия, впервые синтезированная в матрице из аргона, наблюдалась только в ИК-спектрах поглощения [3].

В настоящей работе исследованы спектры хемилюминесценции пламен паров галлия, индия и таллия в закиси азота в потоке аргона. Эксперименты проводились на описанном ранее потоковом реакторе [8, 9]. Исследовавшиеся металлы помещались в молибденовую ячейку и нагревались до температуры, при которой давление пара составляет 0,1—1 мм рт. ст. Поток буферного газа (аргона) выносил пары металла в зону реакции, где они смешивались с закисью азота и образовывали светящийся